

SEXTA NOTICIA SOBRE LOS VERTEBRADOS

FÓSILES DEL PUELCHENSE DE VILLA BALLESTER

Por CARLOS RUSCONI

RÉSUMÉ

Il s'agit d'un nouveau lot de mammifères et autres vertébrés provenant de l'exploitation des sables souterrains de Villa Ballester, Province de Buenos Aires. Ces restes fossiles furent trouvés dans la couche sablonneuse « puelchénne » dont l'âge varie entre le pliocène moyen et le pliocène supérieur. La nouvelle espèce est *Tetrastylus angustidens*, nov. Sp. appartenant à un des grands groupes éteints de rongeurs de l'Argentine.

En la nueva remesa de vertebrados fósiles obtenida recientemente de las arenas puelchenses de Villa Ballester, me han revelado la existencia de nuevos elementos paleontológicos, algunos ya señalados en mis anteriores artículos y otros que eran desconocidos antes de ahora. Estas arenas, como ya lo manifestó antes, son de origen fluvial; tienen un espesor de 14 a 18 metros y se encuentran en dicha localidad a una profundidad de 30 bajo la superficie del suelo. Son algo más modernas que el chapadmalense (plioceno medio), y se encuentran más o menos en la base de la formación pampeana. Con respecto a su geología debo agregar ahora el siguiente dato: Cerca del lugar de la explotación se ha practicado la rectificación de una calle en cuyo proceso se puso al descubierto una pequeña capa de moluscos marinos (*Corbula mactroides*, *Littoridina australis* y otros restos) correspondiente a la ingresión querandínense. Este depósito debe tener una equivalencia estratigráfica a la capa n° 2 de la figura 1, que dí en mi primer artículo de 1933, p. 179).

FAUNA

Mamíferos

Myocastor priscus Gerv. y Amegh.

Dos porciones craneanas procedentes de las arenas puelchenses. Localidad Villa Ballester; plioceno superior.

Una de las piezas (n° 596, col. Paleontológica Rusconi) es un premaxilar, maxilar e incisivo roto longitudinalmente. La distancia desde el borde alveolar incisivo al margen posterior de la raíz del arco malar es de 30 milímetros.

La segunda pieza corresponde a la mandíbula n° 718 de la misma colección. Esta mantiene el incisivo roto en la corona, raíz del p_4 y los dos primeros molares algo deteriorados en la corona. La raíz del ángulo mandibular es más robusta y está situada un poco más arriba que en *Myocastor coypus*. Tiene barra muy corta y más grácil que la de la especie viviente ya citada. Por su incisivo angosto indica que el animal debió tener una edad parecida a la del cuarto estadio postembrionario (Rusconi, p. 22, fig. 22), es decir, que todavía no había entrado en función el último molar; pero juzgada por el dibujo de los molares, este espécimen parecería indicar mayor edad. Lo que debe ocurrir, sin embargo, es que el invaginamiento de los pozos de esmalte no tienen la profundidad que presentan los mismos dientes de la especie actual.

Hydrochoeropsis Fontanai Rusc.

Trozo correspondiente a la parte posterior de un cráneo que supongo haya pertenecido a este gran carpincho fósil, descrito en el trabajo arriba indicado. Conserva parte del supraoccipital, resto posterior de los parietales que están separados del occipital por una amplia sutura. Los parietales presentan dos caras bien definidas; en la zona superior hay una superficie plana y no bombeada como en *Hydrochoerus* y dicha superficie termina hacia los costados en la cresta temporal. De esta cresta hacia abajo, el parietal se dirige oblicuamente y tiene una superficie mucho más cóncava que la misma región del roedor viviente ya mencionado. Otra de las particularidades es la presencia de dos fosas alargadas y profundas, que están situadas en la cara posterosuperior del occipital;

tienen 10 milímetros de profundidad, 20 de largo y están orientadas hacia abajo y a cada lado de la línea media del cráneo. Tales fosas debieron alojar inserciones musculares mucho más poderosas de las que tiene *Hydrochoerus*. La longitud del supraoccipital, desde su extremo posterior a la sutura occipitoparietal es de 28 milímetros, y de 35 la distancia mínima entre ambas crestas parietales.

***Tetrastylus angustidens*, nov. sp.**

Tipo: p_4 del lado izquierdo, n° 704, col. Ruseoni. Piso y procedencia igual a la anterior.

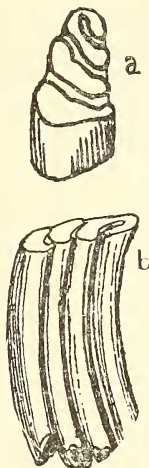


FIG. 1. — P_4 del lado izquierdo de *Tetrastylus angustidens*, nov. sp; *a* visto por la superficie masticatoria, y *b* visto de lado tamaño natural.

Se trata de un premolar inferior en perfectas condiciones que reúne caracteres del género *Tetrastylus* (fam. *Eumegamyidae*) (fig. 1 *a* y *b*). En uno de sus trabajos póstumos de 1932, Kraglievich hizo una revisión de las especies de este género, anotando además varias formas nuevas. *Tetrastylus diffisus* Amegh., *T. laevigatus* Amegh., *T. aguilaris* Kragl. etc., poseen un premolar inferior muy pequeño de modo que me eximiré de ellas; en cambio, *Tetrastylus robustus* Kragl. 1932, p. 219 y referido con anterioridad por Ameghino al género *Megamys patagoniensis* (Ameghino, 1889, lám. XXVI, fig. 3), tiene aproximadamente el mismo volumen, con la diferencia de que las primeras láminas son mucho más anchas.

Este diente presenta la forma de un cuadrilátero, mientras que el de la nueva especie muestra la figura de un triángulo escaleno.

La primera lámina de *T. angustidens* está parcialmente dividida por un surco interno de tal modo que del lado lingual hay cuatro columnas y tres pliegues, y tres columnas y dos pliegues en el lado opuesto, como ocurre así también en las otras especies del mismo género. En la parte posterior del diente se ven dos láminas simples siendo mucho más espesas por su arista labial; estas láminas, como las de *T. robustus*, son de línea sinuosa. Finalmente, la raíz del diente de V. Ballester muestra el mismo dibujo que se observa en su corona y cuyas magnitudes son:

<i>Tetrastylus angustidens</i> nov. sp.		<i>T. robustus</i> Kragl.
Diámetro anteroposterior	15 m/m	16,
» transverso de la 1ª lámina	4,5 »	8,
» transverso de la 2ª lámina	7,5 »	10,8
» transverso de la 3ª lámina	9,5 »	12,5
» transverso de la 4ª lámina	11, »	11,5
Longitud total del diente	33, »	—

Cardiotherium sp.

Fragmento de un molar del lado izquierdo con el primer prisma y resto del segundo, n° 711, col. Rusc. No puedo saber si se trata del m^2 o del siguiente, pero por su tamaño y demás características se parecen bastante al m^2 de *Cardiotherium petrosus* figurado por Ameghino en 1898 (p. 181, fig. 46 g).

Palaeolama Weddelli Parodii Rusc.

Porciones de dos molares superiores n° 705, col. Rusc.

Antifer crassus Rusc.

Antifer crassus Rusconi, *Anal. Soc. Cient. Arg.*, vol. CXVII, p. 29, fig. 5.

Describí esta especie con un molar superior que referí al género *Antifer* por diversos motivos. Ahora conozco los restos de otro individuo más joven que daré a conocer a continuación:

a) Porción distal de metacarpiano n° 719, col. Rusc. Las epífisis que articulan con las primeras falanges no existen; la sección del hueso es de figura cuadrilátera y no de un semicírculo como se

observa en *Ozotoceros*, *Cervus*, etc. La cara posterior del metacarpiano muestra una superficie plana y está desprovista de aristas laterales, y en la cara anterior se ve aún parte del surco medial que divide al hueso *canon*. En *Ozotoceros*, *Cervus*, etc., las caras laterales del referido hueso se ensanchan bruscamente al nivel de la sutura epifisiana inferior, mientras que las del fósil son de línea casi recta y es por eso que presentan mayor robustez un poco más arriba de la referida sutura. El fragmento tiene 46 milímetros de

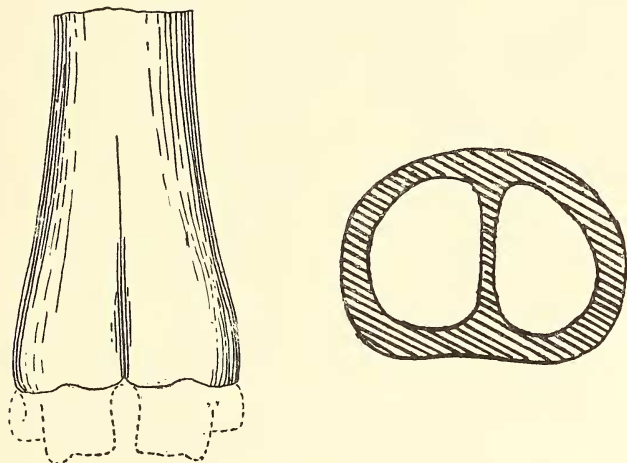


FIG. 2. — Metacarpiano de *Antifer crasus*, en tamaño natural.

longitud; 19 de diámetro anteroposterior en la sutura epifisiana; 29 en sentido transverso, y 18 milímetros mide la diáfisis en el lugar de la rotura (fig. 2).

b) Parte basal de una cornamenta de la que no puedo saber a qué distancia del disco se hallaba la primera garceta (fig. 3).

La superficie interna del cuerno muestra numerosos surcos paralelos parecidos a los que ostenta *Antifer ensenadense*, y sobre las crestas originadas por aquellos surcos se ven algunas rugosidades en parte ya desaparecidas a causa de una antigua erosión. La porción peduncular del hueso temporal es bastante alargada y en la base y cara interna del hueso se alcanza a ver una zona de la superficie endocraneana. En base al trozo de candil existente, me hace pensar que la primera garceta estaba bastante alejada del

disco y por consiguiente, mi previsión en haber referido la especie *crassus* al género *Antifer* resulta ahora justificada. Las medidas del cuerpo con la parte del parietal son las siguientes:

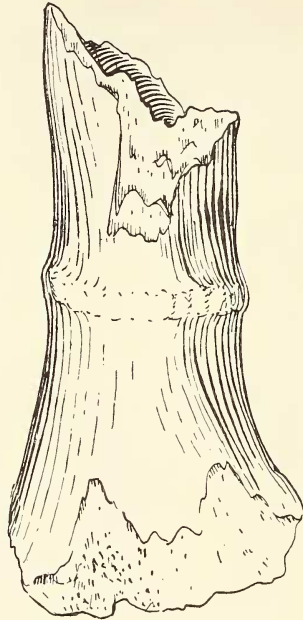


FIG. 3.— Base de un cuerno de *Antifer crassus* Rusc. reducido a $\frac{2}{3}$ del natural.

Diámetro máximo del disco	40 m/m
» máximo a 2 centímetros sobre el disco	38 »
» menor al mismo nivel	31 »
Longitud total del fragmento	120 »

Tapirus (T.) Greslebini Rusc.

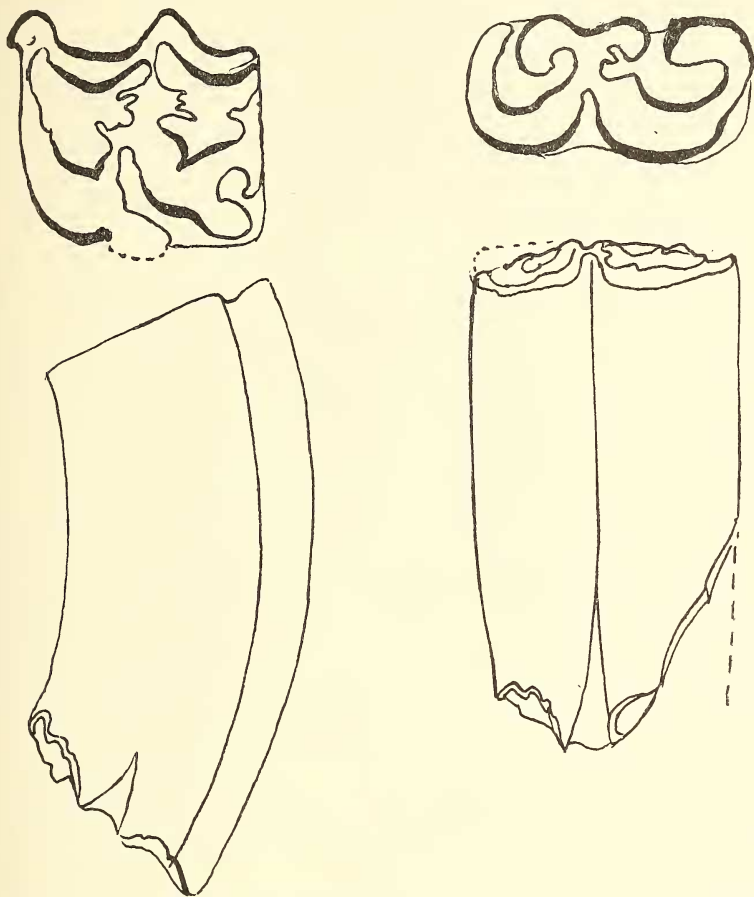
Tapirus (Tapiralum) Greslebini, Ruseoni, *Anal. Soc. Cient.*, vol. CXVII, pág. 25, fig. 3.

Fragmento de molar superior, n° 713, col. Rusc. La corona de este diente presenta las mismas características de la especie que describí en el artículo arriba citado.

Onohippidion sp.

De este género de caballos extinguidos se extrajeron los siguientes nuevos restos: n° 706, p_3 del lado izquierdo y muy robusto, fig. 4; la arista externa y especialmente la anteróexterna son muy

elevadas; el pliegue posterior de la primera faseta es muy sinuoso y la lámina de esmalte que forma el pliegue interno y oblicuo tiene bastante profundidad y poca complicación. Dicho diente es menos curvado que el de *Hippidion* y se diferencia además, por tener co-



Figs. 4 y 5, correspondientes a los p_3 y p_4 de *Onohippidion* sp. en tamaño natural.

rona larga y raíces pequeñas. Su diámetro anteroposterior mide 33; el transverso 33 y la longitud coronaria 75 milímetros.

Nº 707, p_3 del lado izquierdo (fig. 5). La superficie coronaria difiere más de la de *Hippidion principale* que la de *Onohippidion compressidens*; sus raíces son muy pequeñas; tiene un diámetro anteroposterior de 36 y 18 el transverso.

Nº 708, m_3 del lado derecho con la superficie de trituración parcialmente gastada; los tres lóbulos se encuentran todavía separados en la cúspide coronaria y el talón no había entrado en función. Diámetro anteroposterior 35; transverso 13,5 y 60 la altura coro-

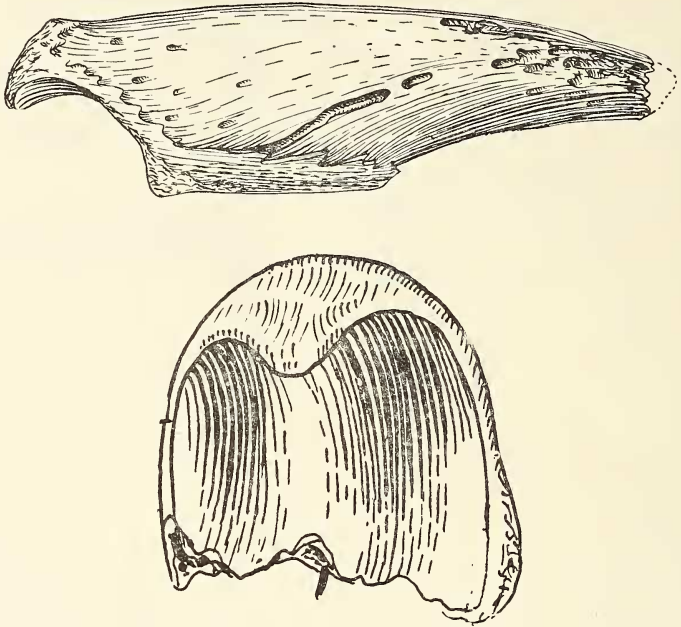


FIG. 6. — Falange ungual de *Megatherium* cf. *tarijensis*; vista de costado y por su superficie articular, reducida a $\frac{2}{3}$ del natural.

naria. Además, hay otros fragmentos dentarios superiores e inferiores de características similares a las recordadas.

Megatherium cf. *tarijensis* Amegh.

Falange ungual casi completa de uno de los dedos laterales de la extremidad anterior, nº 605, col. Rusc. La cara basal y en donde se adhería la callosidad plantal se extiende hasta algo más de la mitad de la longitud de la falange, y cerca del tercio anterior, la uña muestra una sección cilindroide. Este hueso mide 170 de largo; 48 de altura máxima y 46 de espesor (fig. 6). En mi artículo anterior (1934, p. 31), recordé este desdentado por primera vez, en

las arenas mencionadas, con la presencia de un molar y otros restos; ahora ofrezco el dibujo correspondiente a aquel órgano en la figura 7.

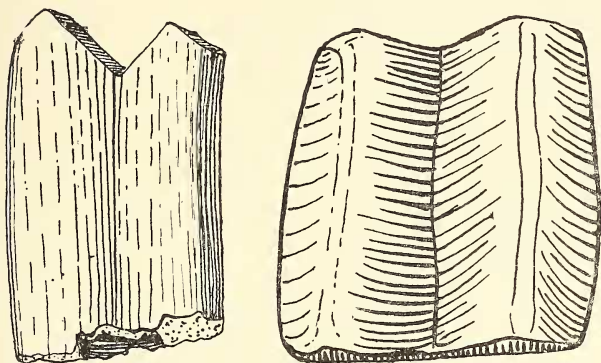


Fig. 7.— Molar de *Megatherium* cf. *tarijensis* Amegh. reducido a $\frac{2}{3}$ del natural.

Daedicurus sp.

Placa n° 608, col. Rusc. La cara externa de la placa es levemente excavada y con algunas rugosidades; casi en el centro aparecen tres perforaciones de unos cuatro milímetros y algunas de ellas atraviesan todo el espesor de la placa; sobre la cara interna hay cinco perforaciones distribuídas irregularmente su diámetro mayor es de 57 y de 25 su espesor.

Glyptodon sp.

Placa de pequeño tamaño, n° 600, col. Rusc. Su diámetro mayor es de 36 y de 19 su espesor. Otra placa (n° 714), tiene magnitudes parecidas.

Chlamytherium sp.

La presencia de este otro género de armadillos la había dado a conocer en mi artículo anterior de 1934 y ahora doy sus detalles. Porción de placa movable n° 597, col. Rusc., se conserva toda la placa que se yuntapone a la otra porción de la placa esculpida o con dibujos; dicha superficie es plana pero con algunas vacuidades; tiene 28 de ancho y la longitud de la carilla lisa mide 30 milímetros por 11 de espesor máximo.

Peces

Dos vértebras, n° 598 y 599, col. Rusc. El cuerpo de la primera vértebra mide 8 de longitud por 11 milímetros de diámetro en una de sus carillas articulares. Hay además la parte superior de un cráneo n° 607.

Sphyrna prisca Agass.

Diente n° 603, col. Rusc.; mide 14 milímetros de alto, 9 de ancho basal y tiene 3,7 de espesor.

BIBLIOGRAFIA

AMEGHINO, F., *Contribución al conocimiento de los mamíferos fósiles de la República Argentina*, en *Actas de la Acad. Nac. Cienc. en Córdoba*, vol. VI, Buenos Aires, 1889.

AMEGHINO, F., *Sipnosis geológico-paleontológica*, en *Segundo Censo*, pp. 113-255, Buenos Aires, 1898.

CASTELLANOS, A., *Las arenas del antiguo río Paraná y la perforación de Villa Ballester*, en *Quid Novi?*, vol. II, n° 5, pp. 1-12, Rosario, 1933.

KRAGLIEVICH, L., *Diagnosis de nuevos géneros y especies de roedores cávidos y eumegámidos fósiles de la Argentina etc.*, en *Anales de la Sociedad Científica Argentina*, vol. CXIV, entregas IV-VI, Buenos Aires, 1932.

RUSCONI, C., *Evolución craneodental de la nutria (*Myocastor coypus bonariensis*) a través de su desarrollo postembrionario*, en *Anal. Soc. Cient. Argentina*, vol. CX, pp. 5-31, Buenos Aires, 1930.

RUSCONI, C., *Apuntes preliminares sobre las arenas puelchenses y su fauna*, en *Anal. Soc. Cient. Arg.*, vol. CXVI, pp. 169-193, Buenos Aires, 1933.

RUSCONI, C., *Tercera noticia sobre los vertebrados fósiles de las arenas puelchenses de Villa Ballester*, en *Anal. Soc. Cient. Arg.*, vol. CXVII, pp. 19-37, Buenos Aires, 1934.